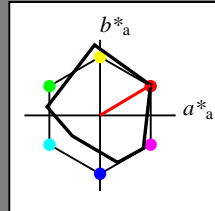


**Eingabe: Farbmimetrisches Reflexions-System MRS18a**

für Buntton  $h^* = lab^*h = 31/360 = 0.086$   
 $lab^*ch$  und  $lab^*nh$

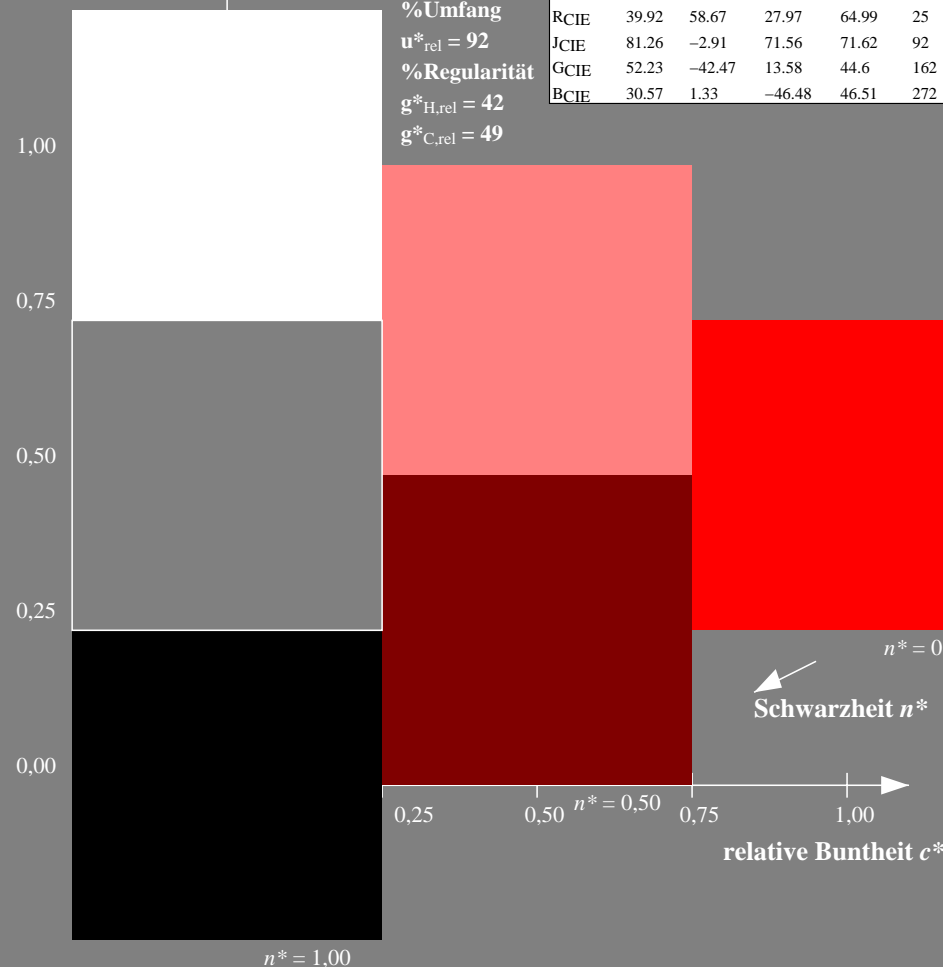
**D65: Buntton R**  
**LCH\*Ma: 50 78 31**  
**rgb\*Ma: 1.0 0.0 0.0**

### Dreiecks-Helligkeit $t^*$



**%Umfang**  
 **$u^*_{\text{rel}} = 92$**   
**%Regularität**  
 **$g^*_{\text{H,rel}} = 42$**   
 **$g^*_{\text{C,rel}} = 49$**

MRS18a; adaptierte CIELAB-Daten					
	$L^*_{a}$	$a^*_{a}$	$b^*_{a}$	$C^*_{ab,a}$	$h^*_{ab,a}$
RMa	49.63	66.8	40.02	77.87	31
JMa	90.7	-7.27	93.19	93.48	94
GMa	52.11	-69.93	11.26	70.85	171
G50B <sub>Ma</sub>	45.03	-36.65	-27.13	45.61	217
B <sub>Ma</sub>	36.65	23.26	-62.27	66.49	290
B50R <sub>Ma</sub>	34.94	57.27	-43.6	71.99	323
N <sub>Ma</sub>	18.01	0.0	0.0	0.0	0
W <sub>Ma</sub>	95.41	0.0	0.0	0.0	0
RCIE	39.92	58.67	27.97	64.99	25
JCIE	81.26	-2.91	71.56	71.62	92
GCIE	52.23	-42.47	13.58	44.6	162
BCIE	30.57	1.33	-46.48	46.51	272

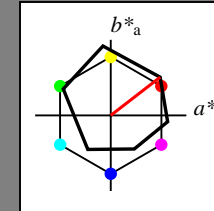


**Ausgabe: Farbmétrisches Reflexions-System ORS18**

für Buntton $h^* = lab^*h = 38/360 = 0.105$	
$lab^*tch$ und $lab^*nch$	$h^*$

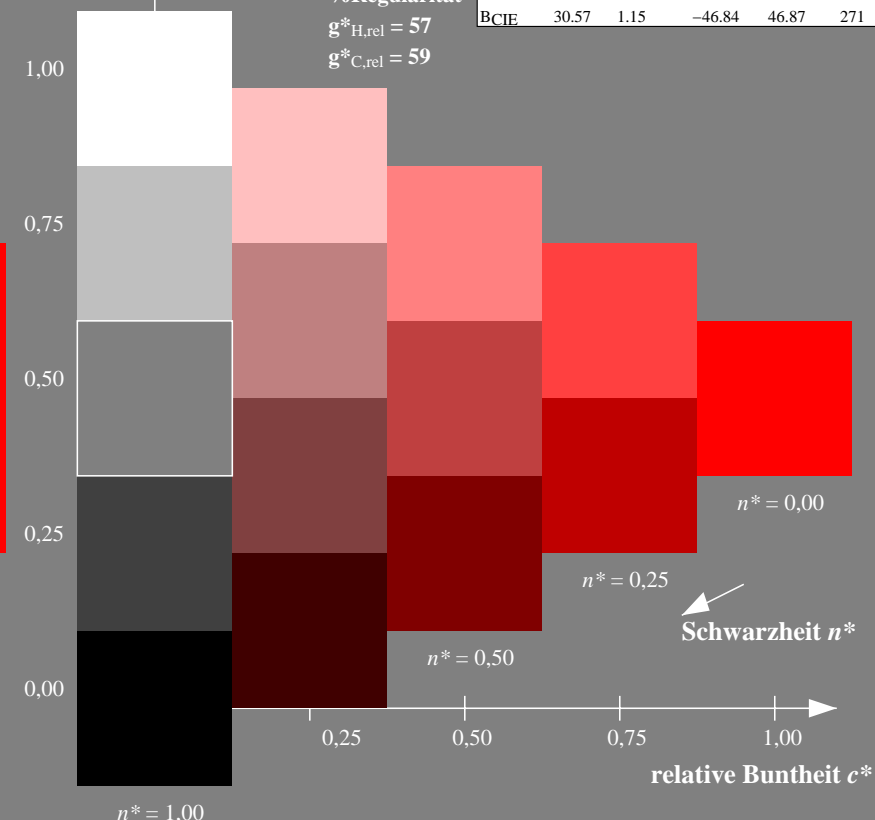
D65: Buntton O  
LCH\*Ma: 48 83 38  
rgb\*Ma: 1.0 0.0 0.0

### Dreiecks-Helligkeit $t^*$



**%Umfang**  
 **$u^*_{\text{rel}} = 93$**   
**%Regularität**  
 **$g^*_{\text{H,rel}} = 57$**   
 **$g^*_{\text{C,rel}} = 59$**

ORS18; adaptierte CIELAB-Daten						
	$L^*_{*a}$	$a^*_{*a}$	$b^*_{*a}$	$C^*_{ab,a}$	$h^*_{ab,a}$	
OMa	47.94	65.37	50.52	82.62	38	
YMa	90.37	-10.27	91.77	92.34	96	
LMa	50.9	-62.79	34.95	71.87	151	
CMa	58.62	-30.35	-45.01	54.3	236	
VMa	25.71	31.11	-44.42	54.24	305	
MMa	48.13	75.27	-8.35	75.73	354	
NMa	18.01	0.0	0.0	0.0	0	
WMa	95.41	0.0	0.0	0.0	0	
RCIE	39.92	58.66	26.98	64.56	25	
JCIE	81.26	-2.17	67.76	67.79	92	
GCIE	52.23	-42.26	11.75	43.87	164	
BCIE	30.57	1.15	-46.84	46.87	271	



TG860-7, 3stufige Reihen für konstanten CIELAB Buntton  $31/360 = 0.086$  (links)

5stufige Reihen für konstanten CIELAB Buntton  $38/360 = 0.105$  (rechts)

BAM-Prüfvorlage TG86; Farbmeterik-Systeme MRS18a & ORS18  
D65: 3 und 5stufige Farbreihen für 10 Bunttöne

output: *no change compared to input*

### Eingabe: Farbmetrisches Reflexions-System MRS18a

für Buntton  $h^* = lab^*h = 94/360 = 0.262$

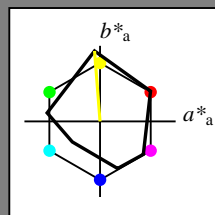
$lab^*ich$  und  $lab^*nch$

D65: Buntton J

LCH\*Ma: 91 93 94

rgb\*Ma: 1.0 1.0 0.0

Dreiecks-Helligkeit  $t^*$



%Umfang  
 $u^*_{rel} = 92$   
%Regularität  
 $g^*_{H,rel} = 42$   
 $g^*_{C,rel} = 49$

### MRS18a; adaptierte CIELAB-Daten

	$L^*=L^*_a$	$a^*_a$	$b^*_a$	$C^*_{ab,a}$	$h^*_{ab,a}$
RMa	49.63	66.8	40.02	77.87	31
JMa	90.7	-7.27	93.19	93.48	94
GMa	52.11	-69.93	11.26	70.85	171
G50BMa	45.03	-36.65	-27.13	45.61	217
BMa	36.65	23.26	-62.27	66.49	290
B50RMa	34.94	57.27	-43.6	71.99	323
NMa	18.01	0.0	0.0	0.0	0
WMa	95.41	0.0	0.0	0.0	0
RCIE	39.92	58.67	27.97	64.99	25
JCIE	81.26	-2.91	71.56	71.62	92
GCIE	52.23	-42.47	13.58	44.6	162
BCIE	30.57	1.33	-46.48	46.51	272

### Ausgabe: Farbmetrisches Reflexions-System ORS18

für Buntton  $h^* = lab^*h = 96/360 = 0.268$

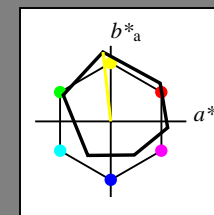
$lab^*ich$  und  $lab^*nch$

D65: Buntton Y

LCH\*Ma: 90 92 96

rgb\*Ma: 1.0 1.0 0.0

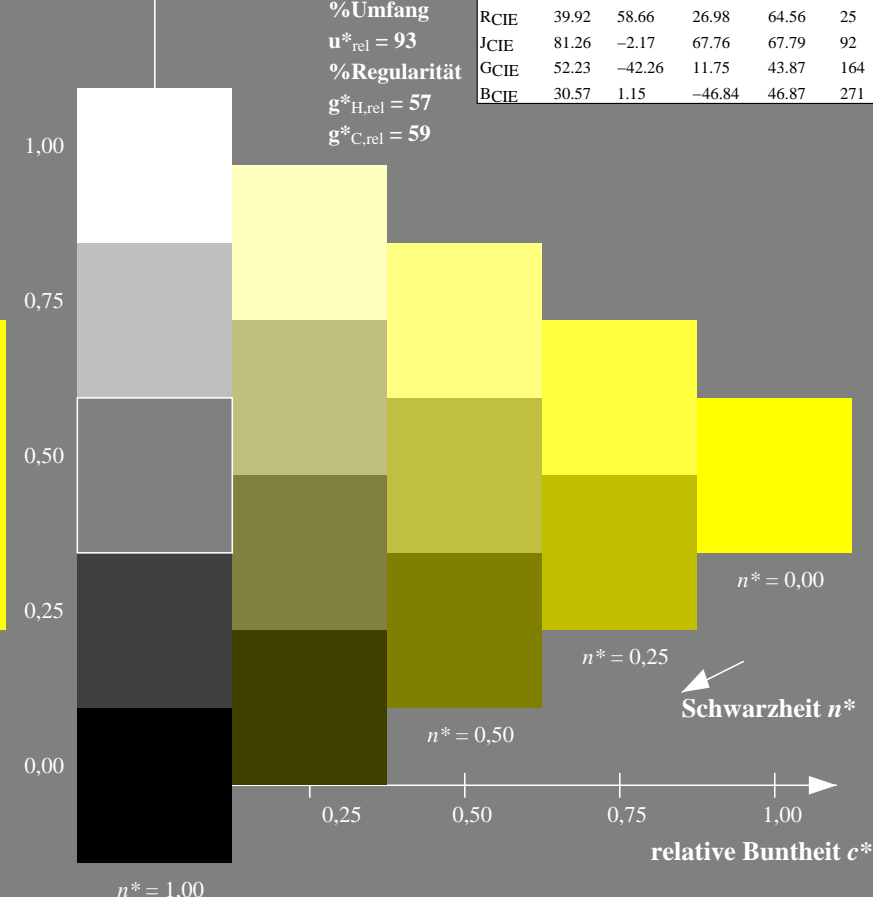
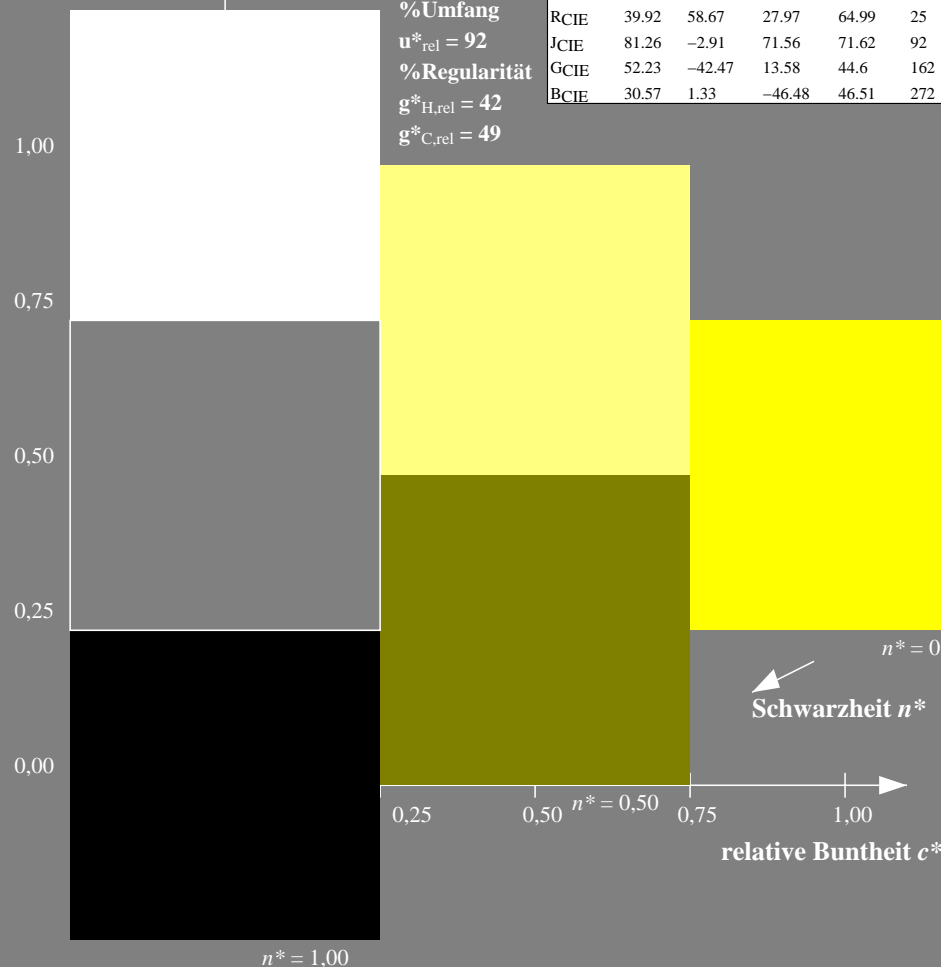
Dreiecks-Helligkeit  $t^*$



%Umfang  
 $u^*_{rel} = 93$   
%Regularität  
 $g^*_{H,rel} = 57$   
 $g^*_{C,rel} = 59$

### ORS18; adaptierte CIELAB-Daten

	$L^*=L^*_a$	$a^*_a$	$b^*_a$	$C^*_{ab,a}$	$h^*_{ab,a}$
OMa	47.94	65.37	50.52	82.62	38
YMa	90.37	-10.27	91.77	92.34	96
LMa	50.9	-62.79	34.95	71.87	151
CMa	58.62	-30.35	-45.01	54.3	236
VMa	25.71	31.11	-44.42	54.24	305
MMa	48.13	75.27	-8.35	75.73	354
NMa	18.01	0.0	0.0	0.0	0
WMa	95.41	0.0	0.0	0.0	0
RCIE	39.92	58.66	26.98	64.56	25
JCIE	81.26	-2.17	67.76	67.79	92
GCIE	52.23	-42.26	11.75	43.87	164
BCIE	30.57	1.15	-46.84	46.87	271



TG860-7, 3stufige Reihen für konstanten CIELAB Buntton 94/360 = 0.262 (links)

5stufige Reihen für konstanten CIELAB Buntton 96/360 = 0.268 (rechts)

BAM-Prüfvorlage TG86; Farbmetrik-Systeme MRS18a & ORS18

D65: 3 und 5stufige Farbreihen für 10 Bunttöne

input:  $olv^* setrgbcolor$

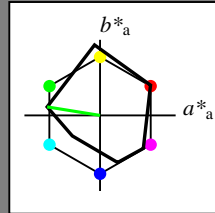
output: no change compared to input

Siehe ähnliche Dateien: <http://www.ps.bam.de/TG86/>  
Technische Information: <http://www.ps.bam.de> Version 2.1, io=1,1

Eingabe: Farbmatisches Reflexions-System MRS18a  
für Buntton  $h^* = lab^*h = 171/360 = 0.475$   
 $lab^*ich$  und  $lab^*nch$

D65: Buntton G  
LCH\*Ma: 52 71 171  
rgb\*Ma: 0.0 1.0 0.0

Dreiecks-Helligkeit  $t^*$



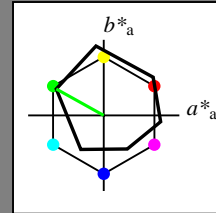
%Umfang  
 $u^*_{rel} = 92$   
%Regularität  
 $g^*_{H,rel} = 42$   
 $g^*_{C,rel} = 49$

MRS18a; adaptierte CIELAB-Daten					
	$L^*=L^*_a$	$a^*_a$	$b^*_a$	$C^*_{ab,a}$	$h^*_{ab,a}$
RMa	49.63	66.8	40.02	77.87	31
JMa	90.7	-7.27	93.19	93.48	94
GMa	52.11	-69.93	11.26	70.85	171
G50BMa	45.03	-36.65	-27.13	45.61	217
BMa	36.65	23.26	-62.27	66.49	290
B50RMa	34.94	57.27	-43.6	71.99	323
NMa	18.01	0.0	0.0	0.0	0
WMa	95.41	0.0	0.0	0.0	0
RCIE	39.92	58.67	27.97	64.99	25
JCIE	81.26	-2.91	71.56	71.62	92
GCIE	52.23	-42.47	13.58	44.6	162
BCIE	30.57	1.33	-46.48	46.51	272

Ausgabe: Farbmatisches Reflexions-System ORS18  
für Buntton  $h^* = lab^*h = 151/360 = 0.419$   
 $lab^*ich$  und  $lab^*nch$

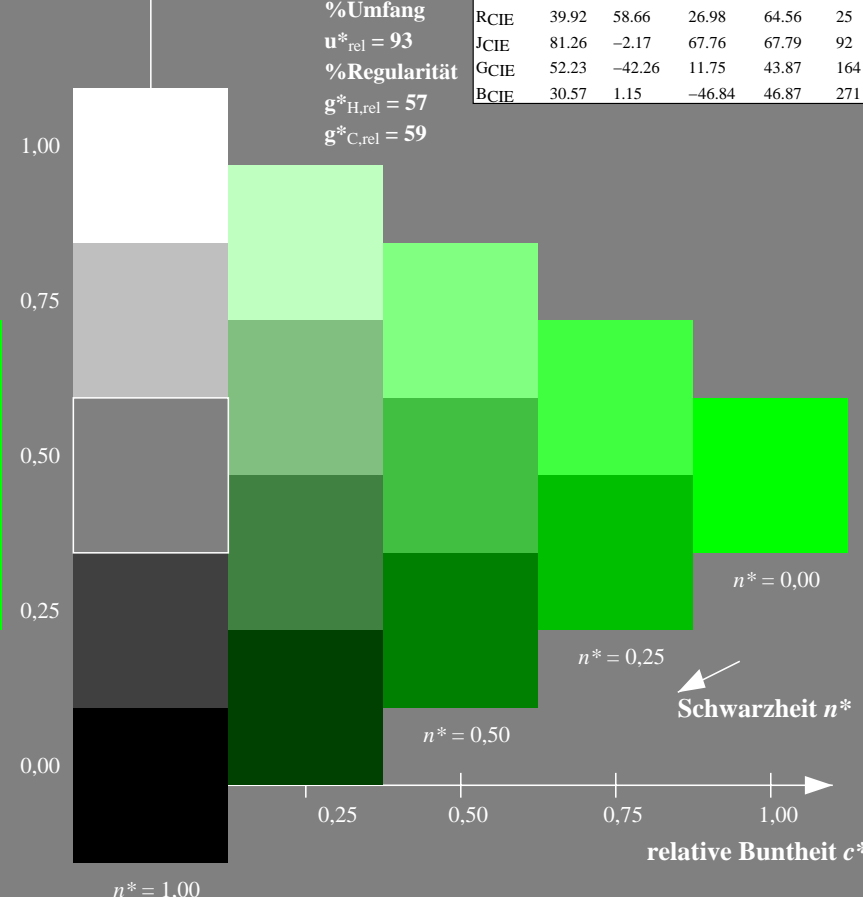
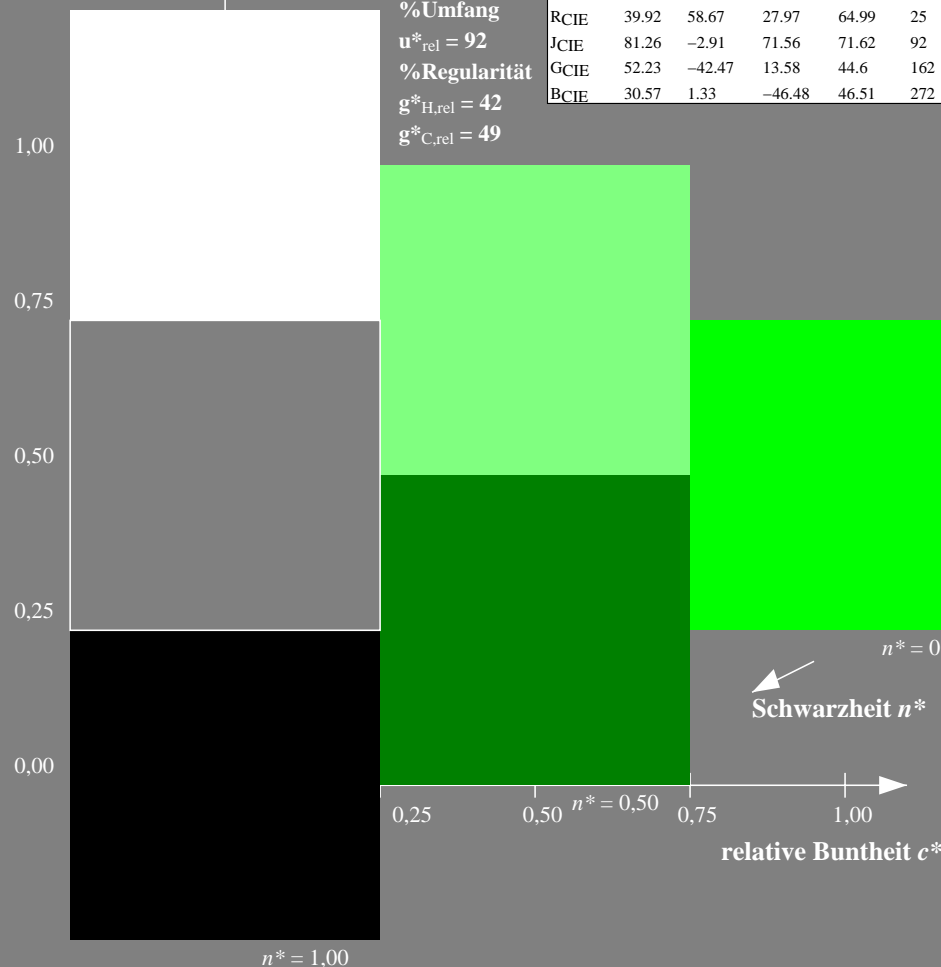
D65: Buntton L  
LCH\*Ma: 51 72 151  
rgb\*Ma: 0.0 1.0 0.0

Dreiecks-Helligkeit  $t^*$



%Umfang  
 $u^*_{rel} = 93$   
%Regularität  
 $g^*_{H,rel} = 57$   
 $g^*_{C,rel} = 59$

ORS18; adaptierte CIELAB-Daten					
	$L^*=L^*_a$	$a^*_a$	$b^*_a$	$C^*_{ab,a}$	$h^*_{ab,a}$
OMa	47.94	65.37	50.52	82.62	38
YMa	90.37	-10.27	91.77	92.34	96
LMa	50.9	-62.79	34.95	71.87	151
CMa	58.62	-30.35	-45.01	54.3	236
VMa	25.71	31.11	-44.42	54.24	305
MMa	48.13	75.27	-8.35	75.73	354
NMa	18.01	0.0	0.0	0.0	0
WMa	95.41	0.0	0.0	0.0	0
RCIE	39.92	58.66	26.98	64.56	25
JCIE	81.26	-2.17	67.76	67.79	92
GCIE	52.23	-42.26	11.75	43.87	164
BCIE	30.57	1.15	-46.84	46.87	271



TG860-7, 3stufige Reihen für konstanten CIELAB Buntton 171/360 = 0.475 (links)

5stufige Reihen für konstanten CIELAB Buntton 151/360 = 0.419 (rechts)

BAM-Prüfvorlage TG86; Farbmeter-Systeme MRS18a & ORS18  
D65: 3 und 5stufige Farbreihen für 10 Bunttöne

Input:  $olv^* setrgbcolor$   
output: no change compared to input

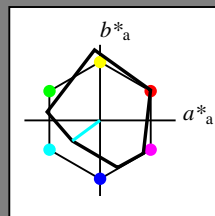
BAM-Registrierung: 20060101-TG86/10S/S86G02NP.PS/.PDF BAM-Material: Code=rh4ta  
Anwendung für Beurteilung und Messung von Drucker- oder Monitorsystemen  
/TG86 Form: 3/10, Serie: 1/1, Seite: 3  
Satz: hmg 3

### Eingabe: Farbmetrisches Reflexions-System MRS18a

für Buntton  $h^* = lab^*h = 217/360 = 0.601$   
 $lab^*ich$  und  $lab^*nch$

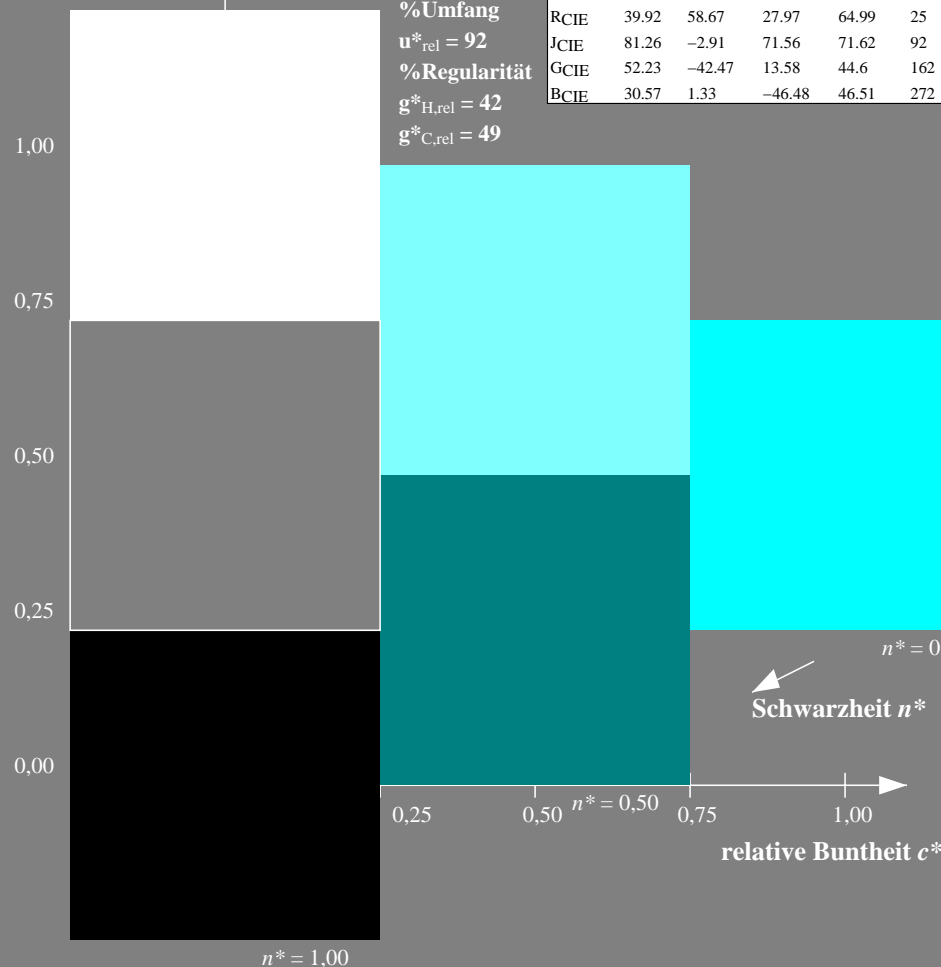
D65: Buntton G50B  
LCH\*Ma: 45 46 217  
rgb\*Ma: 0.0 1.0 1.0

Dreiecks-Helligkeit  $t^*$



%Umfang  
 $u^*_{rel} = 92$   
%Regularität  
 $g^*_{H,rel} = 42$   
 $g^*_{C,rel} = 49$

MRS18a; adaptierte CIELAB-Daten					
	$L^*=L^*_a$	$a^*_a$	$b^*_a$	$C^*_{ab,a}$	$h^*_{ab,a}$
RMa	49.63	66.8	40.02	77.87	31
JMa	90.7	-7.27	93.19	93.48	94
GMa	52.11	-69.93	11.26	70.85	171
G50BMa	45.03	-36.65	-27.13	45.61	217
BMa	36.65	23.26	-62.27	66.49	290
B50RMa	34.94	57.27	-43.6	71.99	323
NMa	18.01	0.0	0.0	0.0	0
WMa	95.41	0.0	0.0	0.0	0
RCIE	39.92	58.67	27.97	64.99	25
JCIE	81.26	-2.91	71.56	71.62	92
GCIE	52.23	-42.47	13.58	44.6	162
BCIE	30.57	1.33	-46.48	46.51	272

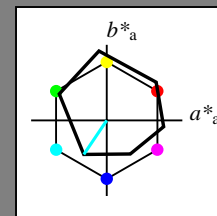


### Ausgabe: Farbmetrisches Reflexions-System ORS18

für Buntton  $h^* = lab^*h = 236/360 = 0.656$   
 $lab^*ich$  und  $lab^*nch$

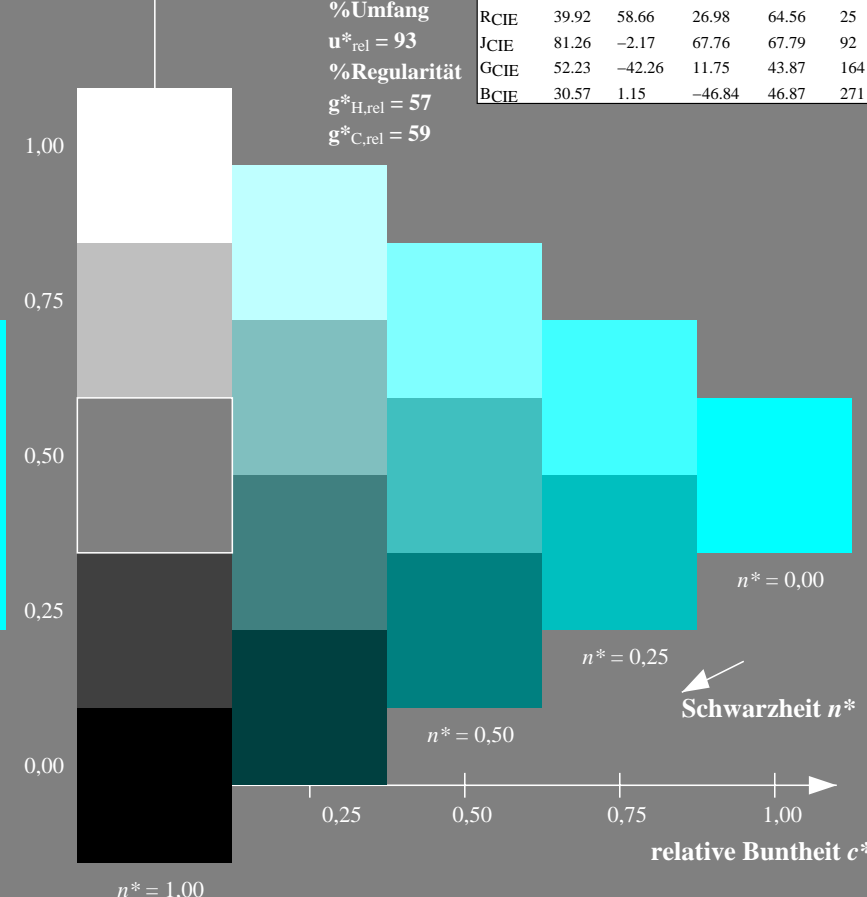
D65: Buntton C  
LCH\*Ma: 59 54 236  
rgb\*Ma: 0.0 1.0 1.0

Dreiecks-Helligkeit  $t^*$



%Umfang  
 $u^*_{rel} = 93$   
%Regularität  
 $g^*_{H,rel} = 57$   
 $g^*_{C,rel} = 59$

ORS18; adaptierte CIELAB-Daten					
	$L^*=L^*_a$	$a^*_a$	$b^*_a$	$C^*_{ab,a}$	$h^*_{ab,a}$
OMa	47.94	65.37	50.52	82.62	38
YMa	90.37	-10.27	91.77	92.34	96
LMa	50.9	-62.79	34.95	71.87	151
CMa	58.62	-30.35	-45.01	54.3	236
VMa	25.71	31.11	-44.42	54.24	305
MMa	48.13	75.27	-8.35	75.73	354
NMa	18.01	0.0	0.0	0.0	0
WMa	95.41	0.0	0.0	0.0	0
RCIE	39.92	58.66	26.98	64.56	25
JCIE	81.26	-2.17	67.76	67.79	92
GCIE	52.23	-42.26	11.75	43.87	164
BCIE	30.57	1.15	-46.84	46.87	271



TG860-7, 3stufige Reihen für konstanten CIELAB Buntton 217/360 = 0.601 (links)

5stufige Reihen für konstanten CIELAB Buntton 236/360 = 0.656 (rechts)

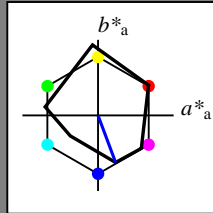
BAM-Prüfvorlage TG86; Farbmetrik-Systeme MRS18a & ORS18  
D65: 3 und 5stufige Farbreihen für 10 Bunttöne  
input:  $olv^* setrgbcolor$   
output: no change compared to input

### Eingabe: Farbmetrisches Reflexions-System MRS18a

für Buntton  $h^* = lab^*h = 290/360 = 0.807$   
 $lab^*ich$  und  $lab^*nch$

D65: Buntton B  
LCH\*Ma: 37 66 290  
rgb\*Ma: 0.0 0.0 1.0

Dreiecks-Helligkeit  $t^*$



%Umfang  
 $u^*_{rel} = 92$   
%Regularität  
 $g^*_{H,rel} = 42$   
 $g^*_{C,rel} = 49$

#### MRS18a; adaptierte CIELAB-Daten

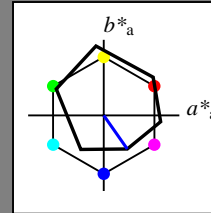
	$L^*=L^*_a$	$a^*_a$	$b^*_a$	$C^*_{ab,a}$	$h^*_{ab,a}$
RMa	49.63	66.8	40.02	77.87	31
JMa	90.7	-7.27	93.19	93.48	94
GMa	52.11	-69.93	11.26	70.85	171
G50BMa	45.03	-36.65	-27.13	45.61	217
BMa	36.65	23.26	-62.27	66.49	290
B50RMa	34.94	57.27	-43.6	71.99	323
NMa	18.01	0.0	0.0	0.0	0
WMa	95.41	0.0	0.0	0.0	0
RCIE	39.92	58.67	27.97	64.99	25
JCIE	81.26	-2.91	71.56	71.62	92
GCIE	52.23	-42.47	13.58	44.6	162
BCIE	30.57	1.33	-46.48	46.51	272

### Ausgabe: Farbmetrisches Reflexions-System ORS18

für Buntton  $h^* = lab^*h = 305/360 = 0.847$   
 $lab^*ich$  und  $lab^*nch$

D65: Buntton V  
LCH\*Ma: 26 54 305  
rgb\*Ma: 0.0 0.0 1.0

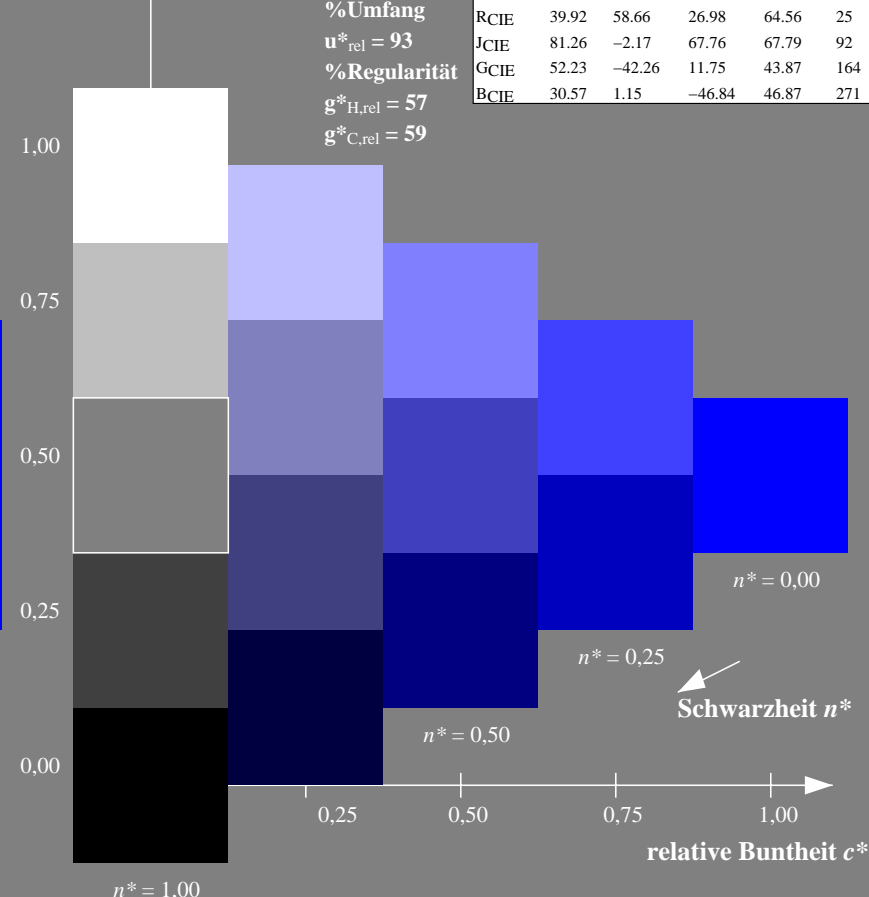
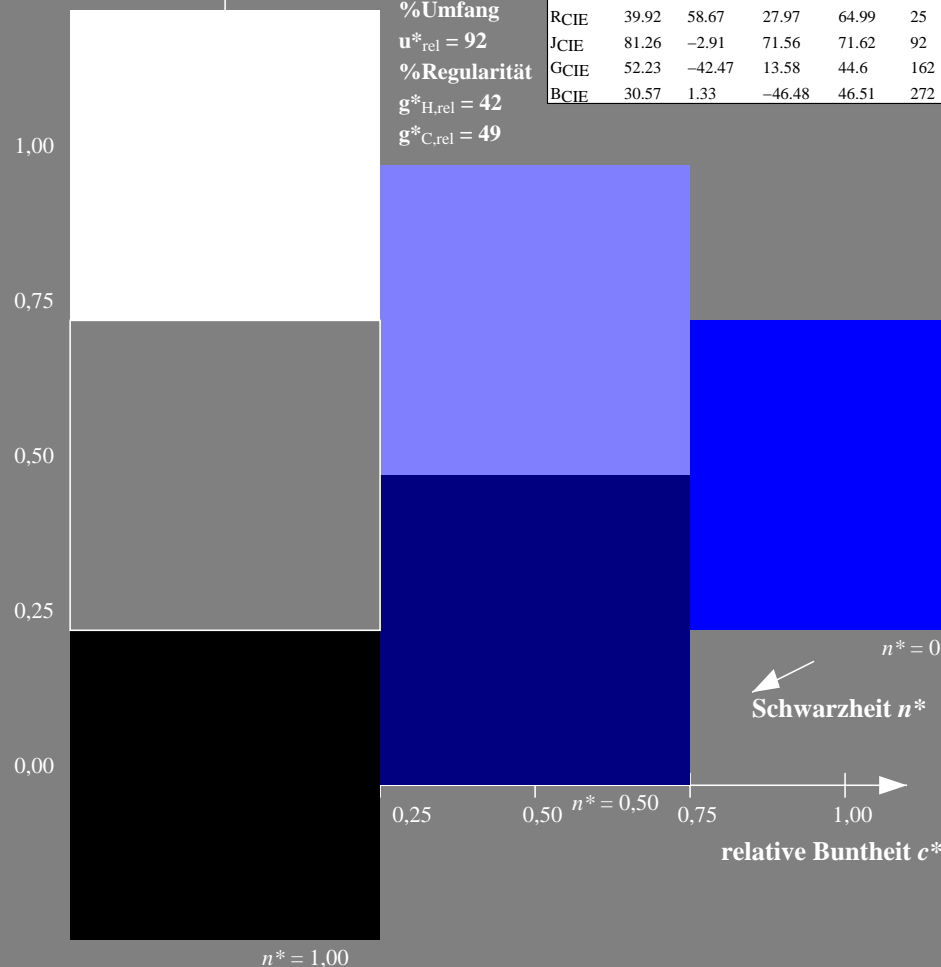
Dreiecks-Helligkeit  $t^*$



%Umfang  
 $u^*_{rel} = 93$   
%Regularität  
 $g^*_{H,rel} = 57$   
 $g^*_{C,rel} = 59$

#### ORS18; adaptierte CIELAB-Daten

	$L^*=L^*_a$	$a^*_a$	$b^*_a$	$C^*_{ab,a}$	$h^*_{ab,a}$
OMa	47.94	65.37	50.52	82.62	38
YMa	90.37	-10.27	91.77	92.34	96
LMa	50.9	-62.79	34.95	71.87	151
CMa	58.62	-30.35	-45.01	54.3	236
VMa	25.71	31.11	-44.42	54.24	305
MMa	48.13	75.27	-8.35	75.73	354
NMa	18.01	0.0	0.0	0.0	0
WMa	95.41	0.0	0.0	0.0	0
RCIE	39.92	58.66	26.98	64.56	25
JCIE	81.26	-2.17	67.76	67.79	92
GCIE	52.23	-42.26	11.75	43.87	164
BCIE	30.57	1.15	-46.84	46.87	271



TG860-7, 3stufige Reihen für konstanten CIELAB Buntton 290/360 = 0.807 (links)

5stufige Reihen für konstanten CIELAB Buntton 305/360 = 0.847 (rechts)

BAM-Prüfvorlage TG86; Farbmetrik-Systeme MRS18a & ORS18  
D65: 3 und 5stufige Farbreihen für 10 Bunttöne

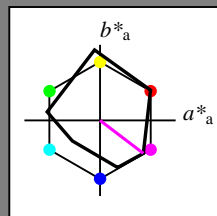
Input:  $olv^* setrgbcolor$   
output: no change compared to input

### Eingabe: Farbmetrisches Reflexions-System MRS18a

für Buntton  $h^* = lab^*h = 323/360 = 0.896$   
 $lab^*ich$  und  $lab^*nch$

D65: Buntton B50R  
LCH\*Ma: 35 72 323  
rgb\*Ma: 1.0 0.0 1.0

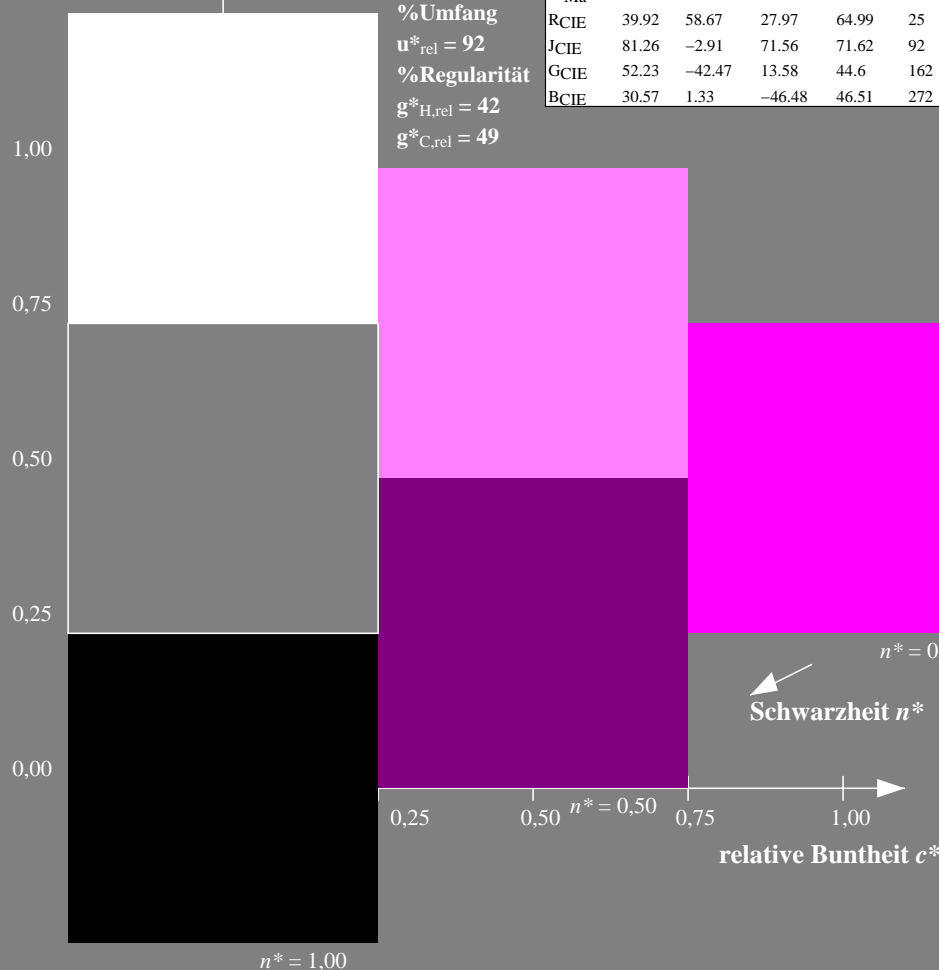
Dreiecks-Helligkeit  $t^*$



#### MRS18a; adaptierte CIELAB-Daten

	$L^*=L^*_a$	$a^*_a$	$b^*_a$	$C^*_{ab,a}$	$h^*_{ab,a}$
RMa	49.63	66.8	40.02	77.87	31
JMa	90.7	-7.27	93.19	93.48	94
GMa	52.11	-69.93	11.26	70.85	171
G50BMa	45.03	-36.65	-27.13	45.61	217
BMa	36.65	23.26	-62.27	66.49	290
B50RMa	34.94	57.27	-43.6	71.99	323
NMa	18.01	0.0	0.0	0.0	0
WMa	95.41	0.0	0.0	0.0	0
RCIE	39.92	58.67	27.97	64.99	25
JCIE	81.26	-2.91	71.56	71.62	92
GCIE	52.23	-42.47	13.58	44.6	162
BCIE	30.57	1.33	-46.48	46.51	272

%Umfang  
 $u^*_{rel} = 92$   
%Regularität  
 $g^*_{H,rel} = 42$   
 $g^*_{C,rel} = 49$

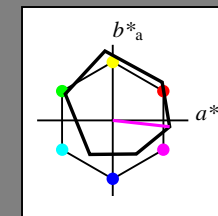


### Ausgabe: Farbmetrisches Reflexions-System ORS18

für Buntton  $h^* = lab^*h = 354/360 = 0.982$   
 $lab^*ich$  und  $lab^*nch$

D65: Buntton M  
LCH\*Ma: 48 76 354  
rgb\*Ma: 1.0 0.0 1.0

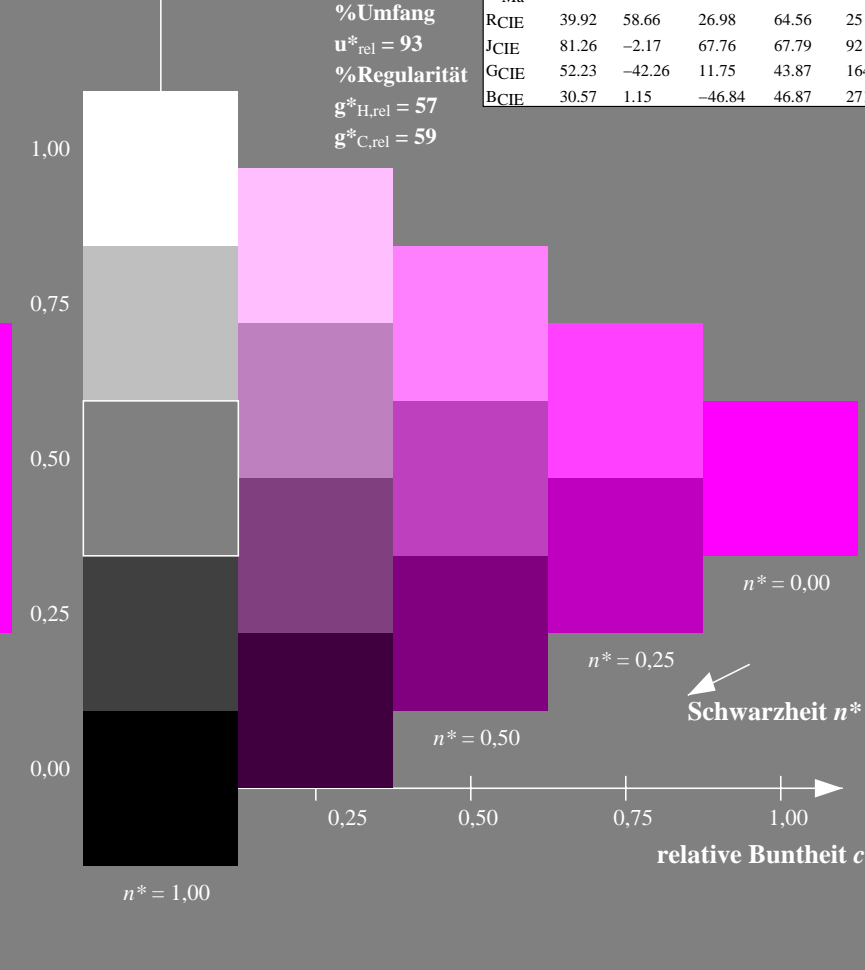
Dreiecks-Helligkeit  $t^*$



#### ORS18; adaptierte CIELAB-Daten

	$L^*=L^*_a$	$a^*_a$	$b^*_a$	$C^*_{ab,a}$	$h^*_{ab,a}$
OMa	47.94	65.37	50.52	82.62	38
YMa	90.37	-10.27	91.77	92.34	96
LMa	50.9	-62.79	34.95	71.87	151
CMa	58.62	-30.35	-45.01	54.3	236
VMa	25.71	31.11	-44.42	54.24	305
MMa	48.13	75.27	-8.35	75.73	354
NMa	18.01	0.0	0.0	0.0	0
WMa	95.41	0.0	0.0	0.0	0
RCIE	39.92	58.66	26.98	64.56	25
JCIE	81.26	-2.17	67.76	67.79	92
GCIE	52.23	-42.26	11.75	43.87	164
BCIE	30.57	1.15	-46.84	46.87	271

%Umfang  
 $u^*_{rel} = 93$   
%Regularität  
 $g^*_{H,rel} = 57$   
 $g^*_{C,rel} = 59$



TG860-7, 3stufige Reihen für konstanten CIELAB Buntton 323/360 = 0.896 (links)

5stufige Reihen für konstanten CIELAB Buntton 354/360 = 0.982 (rechts)

BAM-Prüfvorlage TG86; Farbmetrik-Systeme MRS18a & ORS18

D65: 3 und 5stufige Farbreihen für 10 Bunttöne

Input:  $olv^* setrgbcolor$

output: no change compared to input

### Eingabe: Farbmetrisches Reflexions-System MRS18a

für Buntton  $h^* = lab^*h = 25/360 = 0.071$

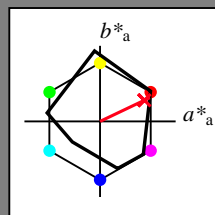
$lab^*ich$  und  $lab^*nch$

D65: Buntton R

LCH\*Ma: 48 73 25

rgb\*Ma: 1.0 0.0 0.1

Dreiecks-Helligkeit  $t^*$



%Umfang  
 $u^*_{rel} = 92$   
%Regularität  
 $g^*_{H,rel} = 42$   
 $g^*_{C,rel} = 49$

### MRS18a; adaptierte CIELAB-Daten

	$L^*=L^*_a$	$a^*_a$	$b^*_a$	$C^*_{ab,a}$	$h^*_{ab,a}$
RMa	49.63	66.8	40.02	77.87	31
JMa	90.7	-7.27	93.19	93.48	94
GMa	52.11	-69.93	11.26	70.85	171
G50BMa	45.03	-36.65	-27.13	45.61	217
BMa	36.65	23.26	-62.27	66.49	290
B50RMa	34.94	57.27	-43.6	71.99	323
NMa	18.01	0.0	0.0	0.0	0
WMa	95.41	0.0	0.0	0.0	0
RCIE	39.92	58.67	27.97	64.99	25
JCIE	81.26	-2.91	71.56	71.62	92
GCIE	52.23	-42.47	13.58	44.6	162
BCIE	30.57	1.33	-46.48	46.51	272

### Ausgabe: Farbmetrisches Reflexions-System ORS18

für Buntton  $h^* = lab^*h = 25/360 = 0.069$

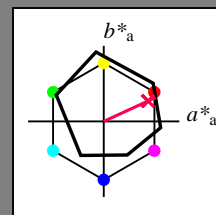
$lab^*ich$  und  $lab^*nch$

D65: Buntton R

LCH\*Ma: 48 75 25

rgb\*Ma: 1.0 0.0 0.32

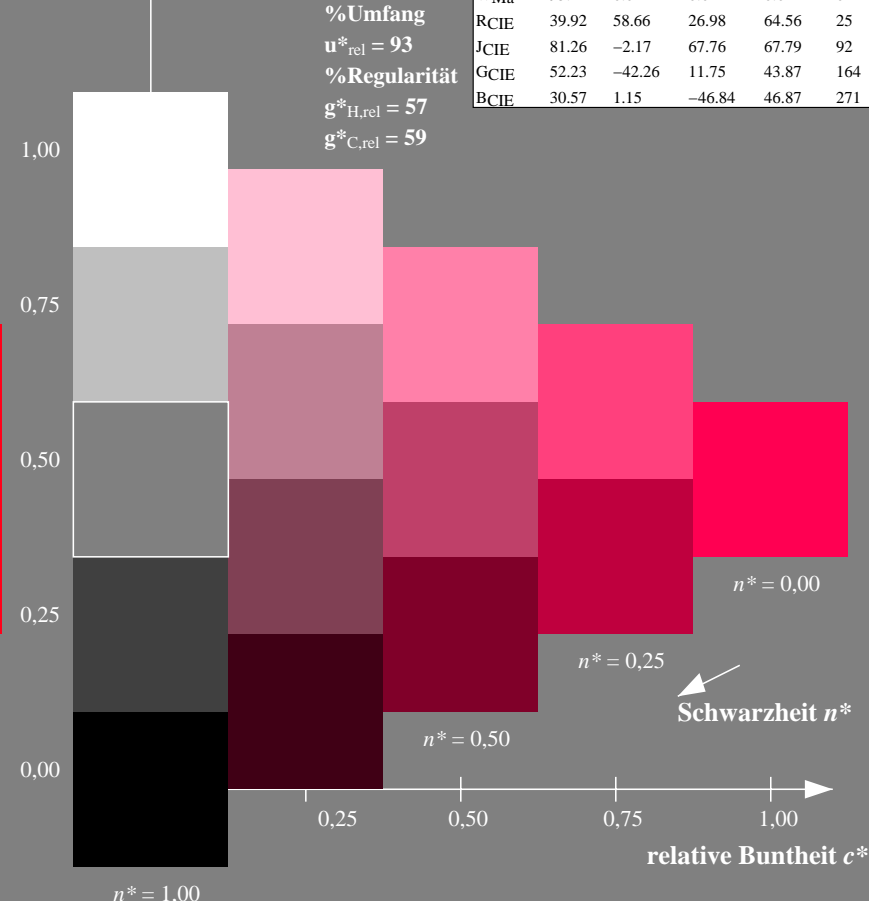
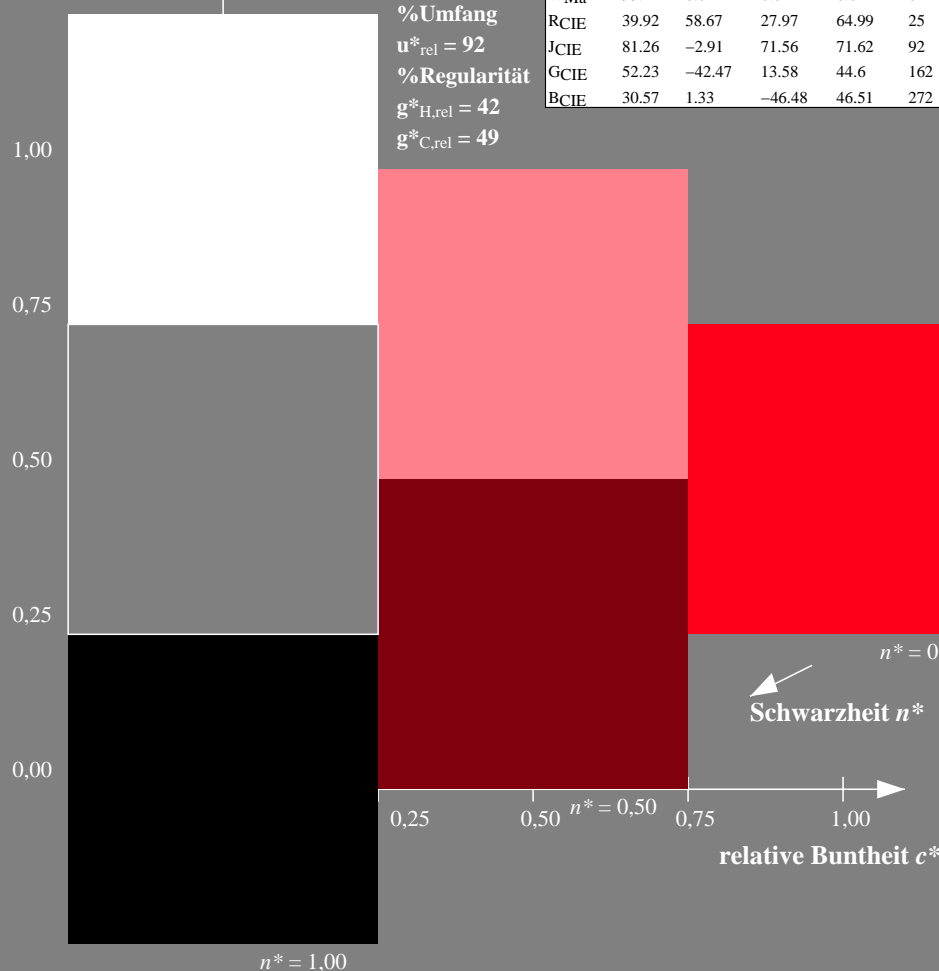
Dreiecks-Helligkeit  $t^*$



%Umfang  
 $u^*_{rel} = 93$   
%Regularität  
 $g^*_{H,rel} = 57$   
 $g^*_{C,rel} = 59$

### ORS18; adaptierte CIELAB-Daten

	$L^*=L^*_a$	$a^*_a$	$b^*_a$	$C^*_{ab,a}$	$h^*_{ab,a}$
OMa	47.94	65.37	50.52	82.62	38
YMa	90.37	-10.27	91.77	92.34	96
LMa	50.9	-62.79	34.95	71.87	151
CMa	58.62	-30.35	-45.01	54.3	236
VMa	25.71	31.11	-44.42	54.24	305
MMa	48.13	75.27	-8.35	75.73	354
NMa	18.01	0.0	0.0	0.0	0
WMa	95.41	0.0	0.0	0.0	0
RCIE	39.92	58.66	26.98	64.56	25
JCIE	81.26	-2.17	67.76	67.79	92
GCIE	52.23	-42.26	11.75	43.87	164
BCIE	30.57	1.15	-46.84	46.87	271



TG860-7, 3stufige Reihen für konstanten CIELAB Buntton 25/360 = 0.071 (links)

5stufige Reihen für konstanten CIELAB Buntton 25/360 = 0.069 (rechts)

BAM-Prüfvorlage TG86; Farbmetrik-Systeme MRS18a & ORS18

D65: 3 und 5stufige Farbreihen für 10 Bunttöne

Input:  $olv^* setrgbcolor$

output: no change compared to input

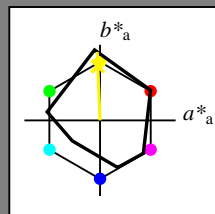


### Eingabe: Farbmetrisches Reflexions-System MRS18a

für Buntton  $h^* = lab^*h = 92/360 = 0.256$   
 $lab^*ich$  und  $lab^*nch$

D65: Buntton J  
LCH\*Ma: 89 91 92  
rgb\*Ma: 1.0 0.95 0.0

Dreiecks-Helligkeit  $t^*$



%Umfang  
 $u^*_{rel} = 92$   
%Regularität  
 $g^*_{H,rel} = 42$   
 $g^*_{C,rel} = 49$

### MRS18a; adaptierte CIELAB-Daten

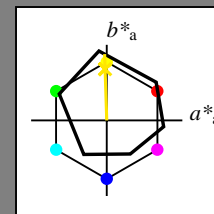
	$L^*=L^*_a$	$a^*_a$	$b^*_a$	$C^*_{ab,a}$	$h^*_{ab,a}$
RMa	49.63	66.8	40.02	77.87	31
JMa	90.7	-7.27	93.19	93.48	94
GMa	52.11	-69.93	11.26	70.85	171
G50BMa	45.03	-36.65	-27.13	45.61	217
BMa	36.65	23.26	-62.27	66.49	290
B50RMa	34.94	57.27	-43.6	71.99	323
NMa	18.01	0.0	0.0	0.0	0
WMa	95.41	0.0	0.0	0.0	0
RCIE	39.92	58.67	27.97	64.99	25
JCIE	81.26	-2.91	71.56	71.62	92
GCIE	52.23	-42.47	13.58	44.6	162
BCIE	30.57	1.33	-46.48	46.51	272

### Ausgabe: Farbmetrisches Reflexions-System ORS18

für Buntton  $h^* = lab^*h = 92/360 = 0.255$   
 $lab^*ich$  und  $lab^*nch$

D65: Buntton J  
LCH\*Ma: 86 88 92  
rgb\*Ma: 1.0 0.9 0.0

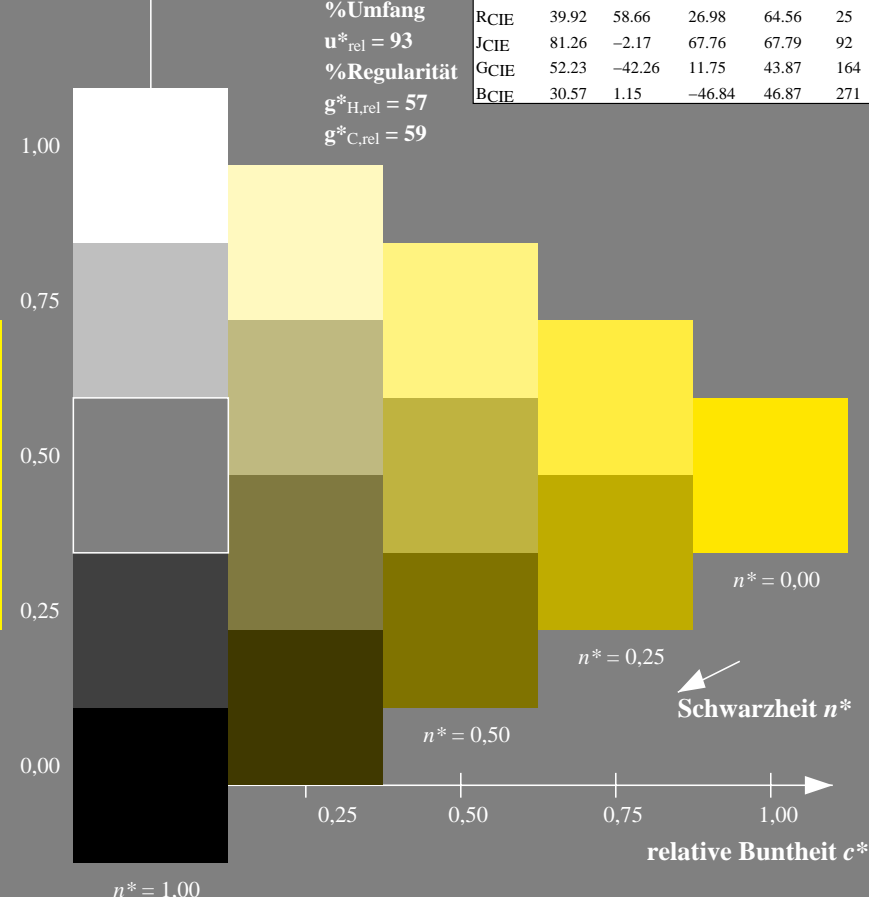
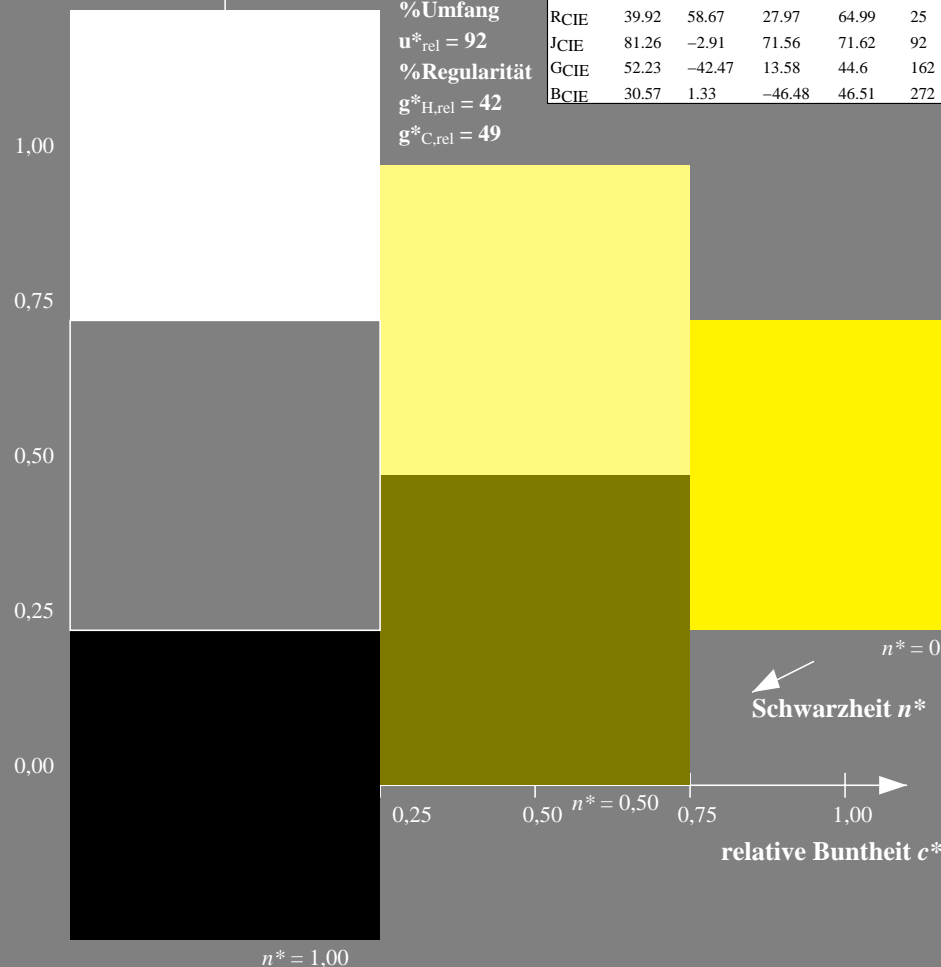
Dreiecks-Helligkeit  $t^*$



%Umfang  
 $u^*_{rel} = 93$   
%Regularität  
 $g^*_{H,rel} = 57$   
 $g^*_{C,rel} = 59$

### ORS18; adaptierte CIELAB-Daten

	$L^*=L^*_a$	$a^*_a$	$b^*_a$	$C^*_{ab,a}$	$h^*_{ab,a}$
OMa	47.94	65.37	50.52	82.62	38
YMa	90.37	-10.27	91.77	92.34	96
LMa	50.9	-62.79	34.95	71.87	151
CMa	58.62	-30.35	-45.01	54.3	236
VMa	25.71	31.11	-44.42	54.24	305
MMa	48.13	75.27	-8.35	75.73	354
NMa	18.01	0.0	0.0	0.0	0
WMa	95.41	0.0	0.0	0.0	0
RCIE	39.92	58.66	26.98	64.56	25
JCIE	81.26	-2.17	67.76	67.79	92
GCIE	52.23	-42.26	11.75	43.87	164
BCIE	30.57	1.15	-46.84	46.87	271



TG860-7, 3stufige Reihen für konstanten CIELAB Buntton 92/360 = 0.256 (links)

5stufige Reihen für konstanten CIELAB Buntton 92/360 = 0.255 (rechts)

BAM-Prüfvorlage TG86; Farbmetrik-Systeme MRS18a & ORS18  
D65: 3 und 5stufige Farbreihen für 10 Bunttöne

Input:  $olv^* setrgbcolor$   
output: no change compared to input

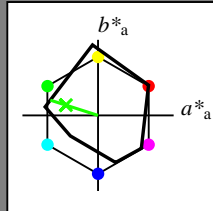


### Eingabe: Farbmetrisches Reflexions-System MRS18a

für Buntton  $h^* = lab^*h = 162/360 = 0.451$   
 $lab^*ich$  und  $lab^*nch$

D65: Buntton G  
LCH\*Ma: 56 66 162  
rgb\*Ma: 0.11 1.0 0.0

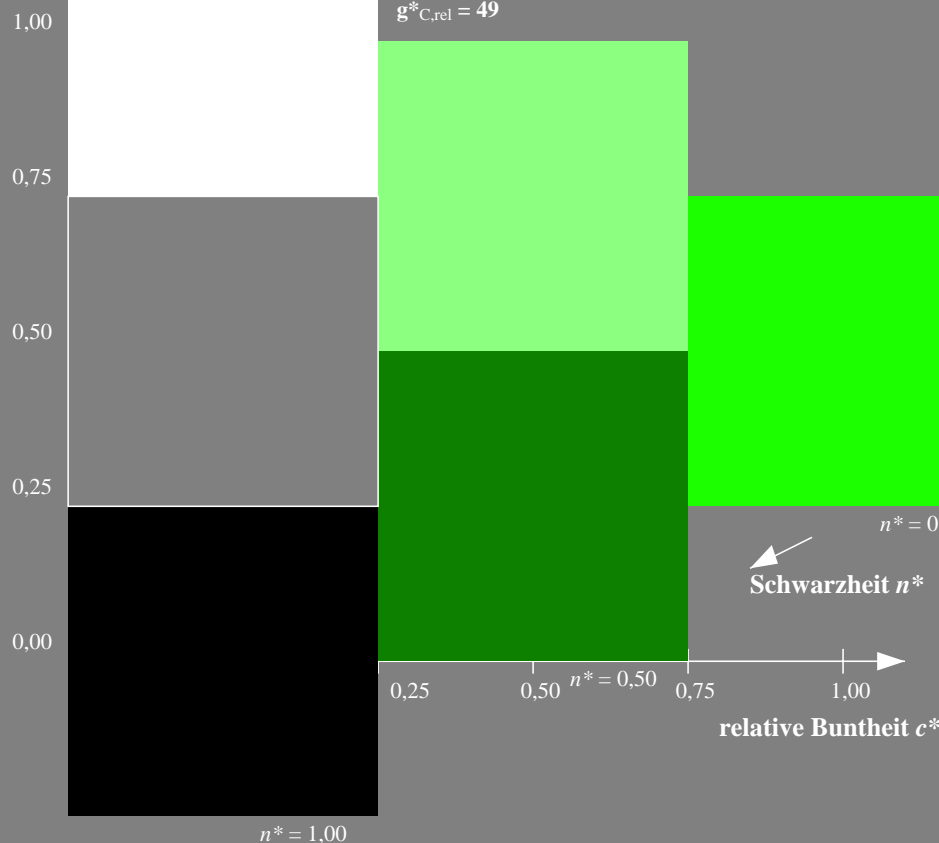
Dreiecks-Helligkeit  $t^*$



#### MRS18a; adaptierte CIELAB-Daten

	$L^*=L^*_a$	$a^*_a$	$b^*_a$	$C^*_{ab,a}$	$h^*_{ab,a}$
RMa	49.63	66.8	40.02	77.87	31
JMa	90.7	-7.27	93.19	93.48	94
GMa	52.11	-69.93	11.26	70.85	171
G50BMa	45.03	-36.65	-27.13	45.61	217
BMa	36.65	23.26	-62.27	66.49	290
B50RMa	34.94	57.27	-43.6	71.99	323
NMa	18.01	0.0	0.0	0.0	0
WMa	95.41	0.0	0.0	0.0	0
RCIE	39.92	58.67	27.97	64.99	25
JCIE	81.26	-2.91	71.56	71.62	92
GCIE	52.23	-42.47	13.58	44.6	162
BCIE	30.57	1.33	-46.48	46.51	272

%Umfang  
 $u^*_{rel} = 92$   
%Regularität  
 $g^*_{H,rel} = 42$   
 $g^*_{C,rel} = 49$

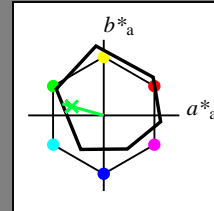


### Ausgabe: Farbmetrisches Reflexions-System ORS18

für Buntton  $h^* = lab^*h = 164/360 = 0.457$   
 $lab^*ich$  und  $lab^*nch$

D65: Buntton G  
LCH\*Ma: 53 57 164  
rgb\*Ma: 0.0 1.0 0.25

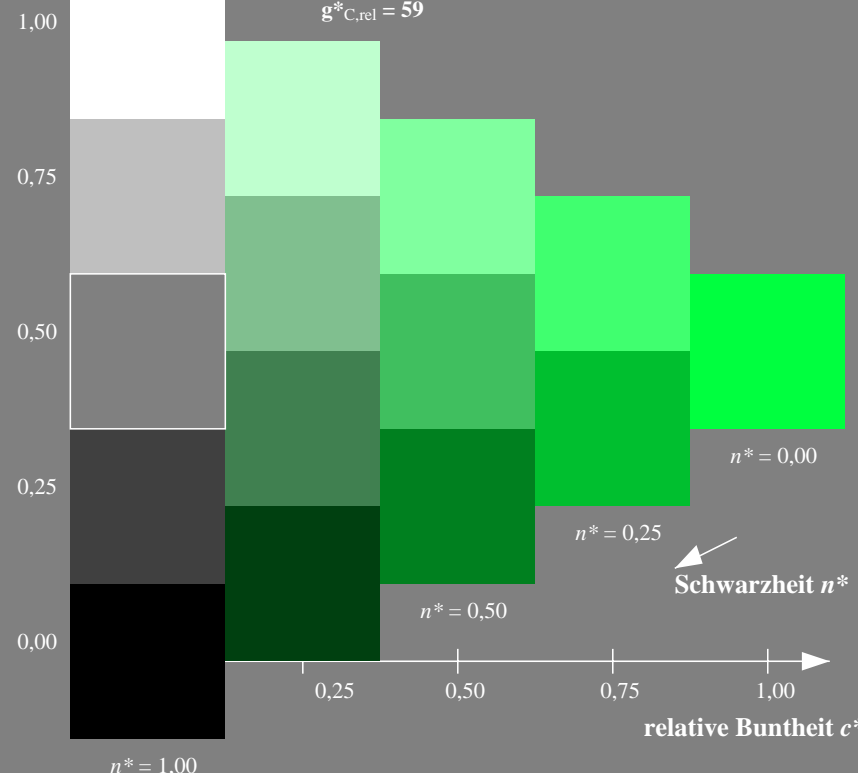
Dreiecks-Helligkeit  $t^*$



#### ORS18; adaptierte CIELAB-Daten

	$L^*=L^*_a$	$a^*_a$	$b^*_a$	$C^*_{ab,a}$	$h^*_{ab,a}$
OMa	47.94	65.37	50.52	82.62	38
YMa	90.37	-10.27	91.77	92.34	96
LMa	50.9	-62.79	34.95	71.87	151
CLMa	58.62	-30.35	-45.01	54.3	236
VMa	25.71	31.11	-44.42	54.24	305
MMa	48.13	75.27	-8.35	75.73	354
NMa	18.01	0.0	0.0	0.0	0
WMa	95.41	0.0	0.0	0.0	0
RCIE	39.92	58.66	26.98	64.56	25
JCIE	81.26	-2.17	67.76	67.79	92
GCIE	52.23	-42.26	11.75	43.87	164
BCIE	30.57	1.15	-46.84	46.87	271

%Umfang  
 $u^*_{rel} = 93$   
%Regularität  
 $g^*_{H,rel} = 57$   
 $g^*_{C,rel} = 59$



TG860-7, 3stufige Reihen für konstanten CIELAB Buntton 162/360 = 0.451 (links)

5stufige Reihen für konstanten CIELAB Buntton 164/360 = 0.457 (rechts)

BAM-Prüfvorlage TG86; Farbmetrik-Systeme MRS18a & ORS18  
D65: 3 und 5stufige Farbreihen für 10 Bunttöne

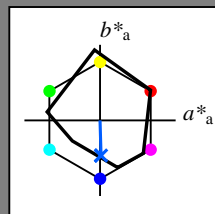
Input:  $olv^* setrgbcolor$   
output: no change compared to input

### Eingabe: Farbmetrisches Reflexions-System MRS18a

für Buntton  $h^* = lab^*h = 272/360 = 0.755$   
 $lab^*ich$  und  $lab^*nch$

D65: Buntton B  
LCH\*Ma: 40 49 272  
rgb\*Ma: 0.0 0.36 1.0

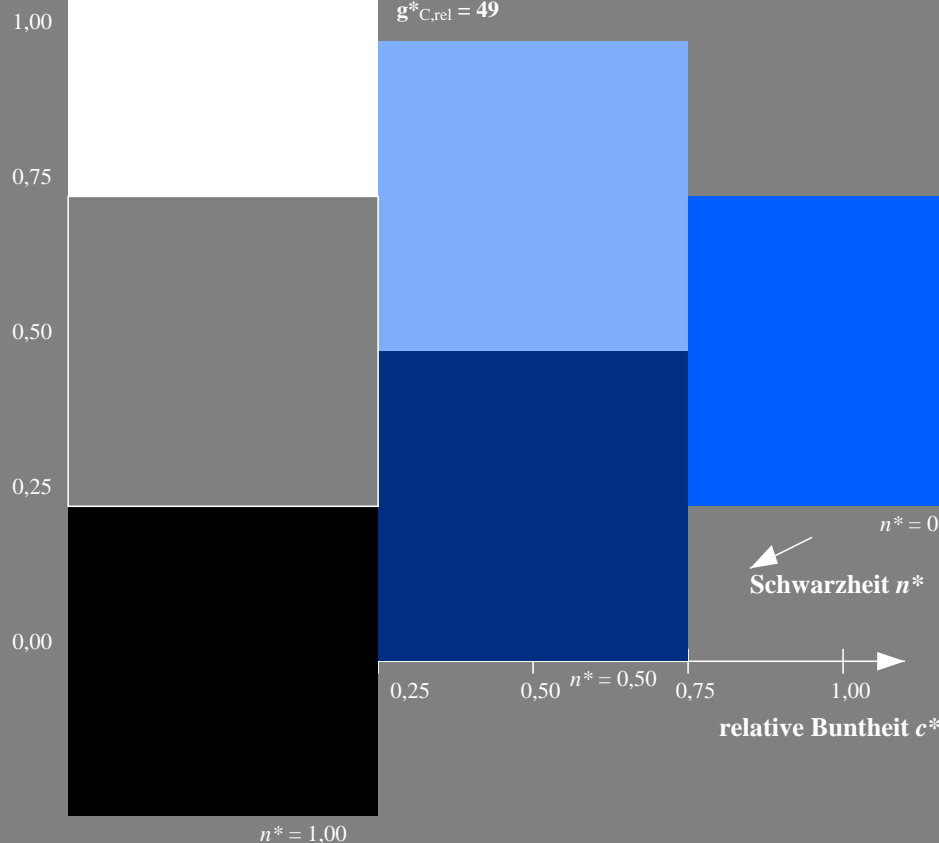
Dreiecks-Helligkeit  $t^*$



#### MRS18a; adaptierte CIELAB-Daten

	$L^*=L_a^*$	$a_a^*$	$b_a^*$	$C_{ab,a}^*$	$h_{ab,a}^*$
RMa	49.63	66.8	40.02	77.87	31
JMa	90.7	-7.27	93.19	93.48	94
GMa	52.11	-69.93	11.26	70.85	171
G50BMa	45.03	-36.65	-27.13	45.61	217
BMa	36.65	23.26	-62.27	66.49	290
B50RMa	34.94	57.27	-43.6	71.99	323
NMa	18.01	0.0	0.0	0.0	0
WMa	95.41	0.0	0.0	0.0	0
RCIE	39.92	58.67	27.97	64.99	25
JCIE	81.26	-2.91	71.56	71.62	92
GCIE	52.23	-42.47	13.58	44.6	162
BCIE	30.57	1.33	-46.48	46.51	272

%Umfang  
 $u_{rel}^* = 92$   
%Regularität  
 $g_{H,rel}^* = 42$   
 $g_{C,rel}^* = 49$

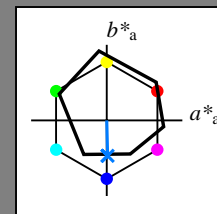


### Ausgabe: Farbmetrisches Reflexions-System ORS18

für Buntton  $h^* = lab^*h = 271/360 = 0.754$   
 $lab^*ich$  und  $lab^*nch$

D65: Buntton B  
LCH\*Ma: 42 45 271  
rgb\*Ma: 0.0 0.49 1.0

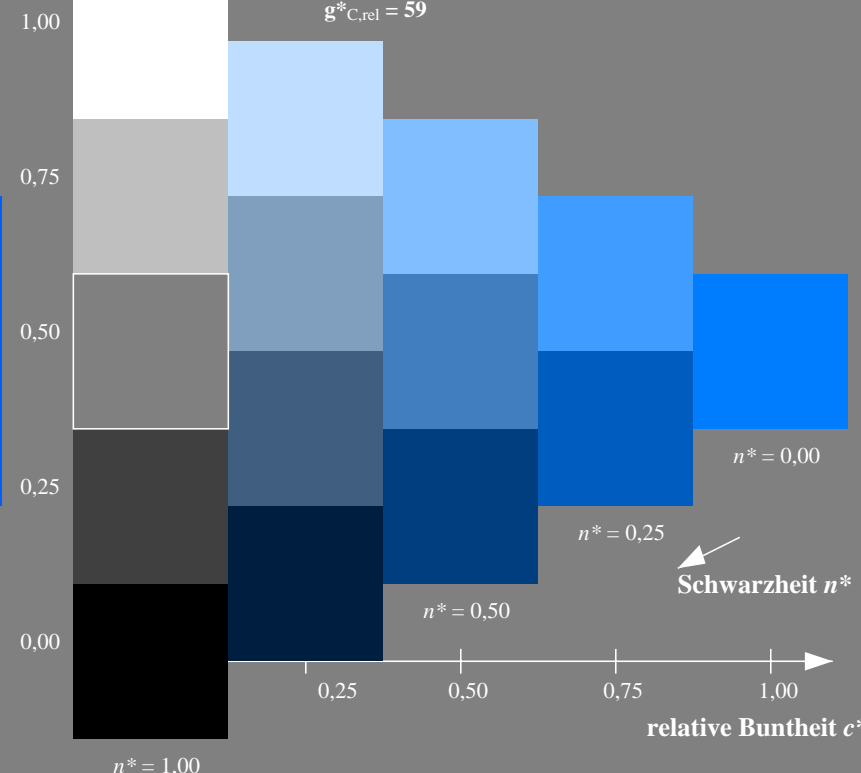
Dreiecks-Helligkeit  $t^*$



#### ORS18; adaptierte CIELAB-Daten

	$L^*=L_a^*$	$a_a^*$	$b_a^*$	$C_{ab,a}^*$	$h_{ab,a}^*$
OMa	47.94	65.37	50.52	82.62	38
YMa	90.37	-10.27	91.77	92.34	96
LMa	50.9	-62.79	34.95	71.87	151
CMa	58.62	-30.35	-45.01	54.3	236
VMa	25.71	31.11	-44.42	54.24	305
MMa	48.13	75.27	-8.35	75.73	354
NMa	18.01	0.0	0.0	0.0	0
WMa	95.41	0.0	0.0	0.0	0
RCIE	39.92	58.66	26.98	64.56	25
JCIE	81.26	-2.17	67.76	67.79	92
GCIE	52.23	-42.26	11.75	43.87	164
BCIE	30.57	1.15	-46.84	46.87	271

%Umfang  
 $u_{rel}^* = 93$   
%Regularität  
 $g_{H,rel}^* = 57$   
 $g_{C,rel}^* = 59$



TG860-7, 3stufige Reihen für konstanten CIELAB Buntton 272/360 = 0.755 (links)

5stufige Reihen für konstanten CIELAB Buntton 271/360 = 0.754 (rechts)

BAM-Prüfvorlage TG86; Farbmetrik-Systeme MRS18a & ORS18  
D65: 3 und 5stufige Farbreihen für 10 Bunttöne

Input:  $olv^* setrgbcolor$   
output: no change compared to input